

東洋技術コンサルタント(株) 正員 島田功
大阪工業大学 正員 関村宏一

1. まえがき：異種構造部材を結合する合成構造では、結合面での付着特性が重要な問題となり、付着のみで結合できない場合、すれ止めを設けて一体化を図る必要がある。すれ止めは、主として部材間のせん断力を伝達するものであるが、その伝達力は、すれ止め位置で局所的に作用するため、その近傍での応力は3次元状態となる。本報告は、この3次元応力の解析法と、すれ止め近傍の応力特徴を示したものである。

2. 解析手法：図-1は、スラブにすれ止め(スタッド)を埋込み、水平力を作用させた状態を示したものである。スラブを均質等方弾性体とすれば、本問題は、スタッドの部分は剛度変化領域を有する三次元体とて扱うこととする、スタッドを含む部分の基礎方程式を円筒座標系で示すと次のようになる。

$$\left. \begin{aligned} \lambda_0 \frac{\partial \epsilon}{\partial r} + G_0 \left\{ \frac{2\delta \epsilon_r}{\partial r} + \frac{1}{r} \frac{\partial \delta_{rr}}{\partial \theta} + \frac{\partial \delta_{rz}}{\partial z} + \frac{2(\epsilon_r + \epsilon_\theta)}{r} \right\} &= -\frac{1}{n^2} T r \frac{\partial n}{\partial r} \\ \lambda_0 \frac{\partial \epsilon}{\partial r} + G_0 \left\{ \frac{2\delta_{rz}}{\partial r} + \frac{1}{r} \frac{\partial \delta_{rz}}{\partial \theta} + \frac{2\delta_{zz}}{\partial z} + \frac{\delta_{rz}}{r} \right\} &= -\frac{1}{n^2} T r^2 \frac{\partial n}{\partial r} \\ \lambda_0 \frac{\partial \epsilon}{\partial \theta} + G_0 \left\{ \frac{2\delta_{rz}}{\partial r} + \frac{2\delta_{zz}}{r \partial \theta} + \frac{\partial \delta_{rz}}{\partial z} + \frac{2\delta_{r\theta}}{r} \right\} &= -\frac{1}{n^2} T r \frac{\partial n}{\partial r} \end{aligned} \right\} \quad (1)$$

ここで、 λ_0, G_0 はスラブの弾性定数で、 n はスラブに対するスタッドのヤング率である。

式(1)の左辺は、スタッドに起因する項であるが、これらを $T_r = \frac{1}{n^2} T r \frac{\partial n}{\partial r}$, $T_\theta = \frac{1}{n^2} T r \theta \frac{\partial n}{\partial r}$, $T_z = \frac{1}{n^2} T r^2 \frac{\partial n}{\partial r}$ とおくと、これらは、均質な三次元体中に働く体積力と同等の物理量である。さらに、 T_r, T_θ, T_z は $\frac{\partial n}{\partial r}$ を含むため、スタッドの周面にのみ働き、その面力は次のようになる。

$$t_r = -T_r (1 - \frac{1}{n}), \quad t_z = -T_{rz} (1 - \frac{1}{n}), \quad t_\theta = -T_{r\theta} (1 - \frac{1}{n}) \quad \dots \dots (2)$$

すなわち、スタッドによる特性は、式(2)に示す仮想力を作用させることによって得られる(方法1)。図-2は、スタッド周面の応力と、それに作用させる仮想力を示したものである。この関係を用いると、次のような簡易法も考えられる。すなわち、スタッドの運動が棒の曲げ理論で近似されるものとみなせば、スタッドに作用する力は、図-2(a)の周面応力であり、それらを積分した力を図3(a)のように作用させてスタッドが解析できる。一方、三次元体は、式(2)より $(1 - \frac{1}{n})$ 倍した力を図-3(b)のように作用させて解析でき、このようにして求めた三次元体の変形が上述のスタッドの変形と等しい条件によって近似的な解をうるこことができる(方法2)。なお、方法1, 2とも三次元体中に作用させる力を未知量とし、スタッドの幹部に与える強制変位、および、境界積分法による自由面の作成を含め逐点法を用いて連立方程式を導き、解くことができる。

ここに、三次元体中に作用させる力による解は、1つの自由面を有するMindlin解を矩形積分したものである。

3. 計算結果：図-4に解析モデルを示した。なお、スタッドの幹部は剛体とし、水平変位(u_0)を与えた。図-5は、スタッドの応力と変形を示したものである。図-6は、

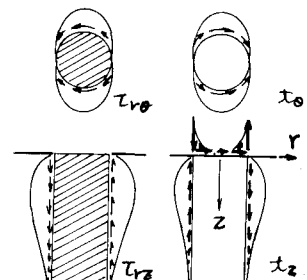
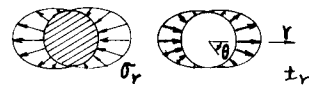


図-2(a)
すれ止め周面
の応力
図-2(b)
三次元体に作用さ
せる仮想力

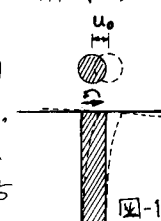


図-3(a)
すれ止めに作用
す力
図-3(b)
三次元体に作用さ
せる力

方法1, 2による結果を比較したものである。二の結果より、方法2の簡易法でも、すべり止め近傍の応力を十分な精度で解析しうることがわかる。

なお、図-5, 6の結果は、半無限体の場合である。表-1は、自由面を作成しスラブにした場合の結果を上述の結果と対比して示したが、両者は、ほとんど差がないことがわかる。したがって、ジベル近傍の応力解析は、半無限体として扱つてもよいと思われる。次に、スタッド相互間干渉を調べるために、図-6に示す3つのケースについて、スタッド近傍の応力分布を、図-7に示した。また、表-2には、応力値を対比して示した。なお、本解析では、両端の2本のスタッドには方法2の簡易法を適用した。これらの結果より次のようなことがわかる。スタッド周囲に作用する応力の範囲は、表面から約2.5倍の深さまでである。また、スタッド前面には側面応力も発生する。スタッドの荷隔が5d程度で、応力の干渉が5~8%程度見られる。

現在、スタッド背面のおく離による影響、およびスタッド長さによる変化も検討中である。

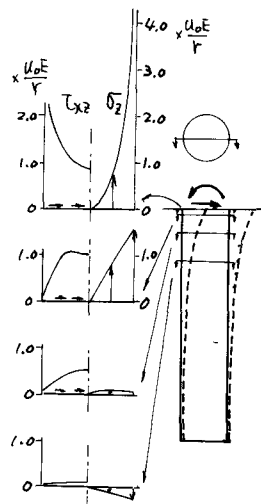


図-5 スタッドの応力と変形

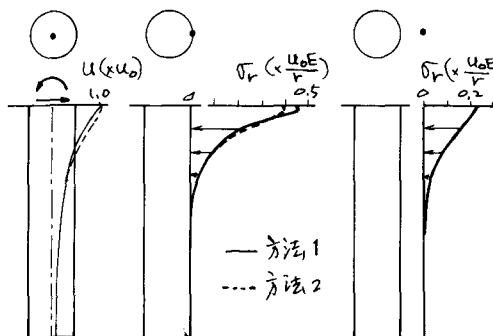


図-6 方法1, 2による解析結果

Y-21

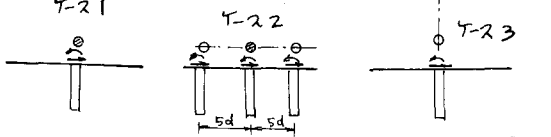


図-7 解析ケース

- Y-21
- - - Y-22
- Y-23
- $S: 2\text{タッド} \times 2\text{作用する水平力}$

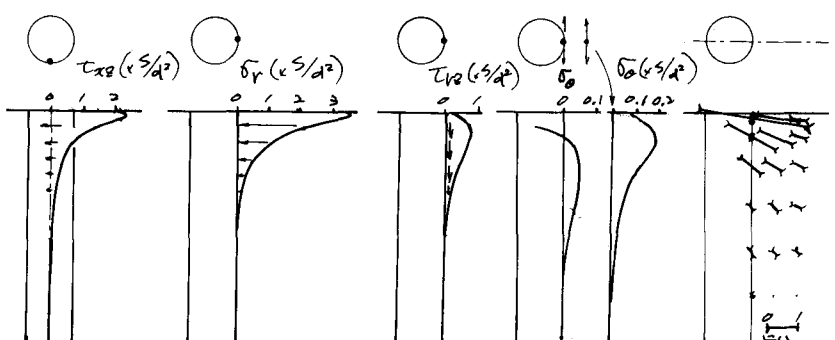


図-8 すべり止め近傍の応力

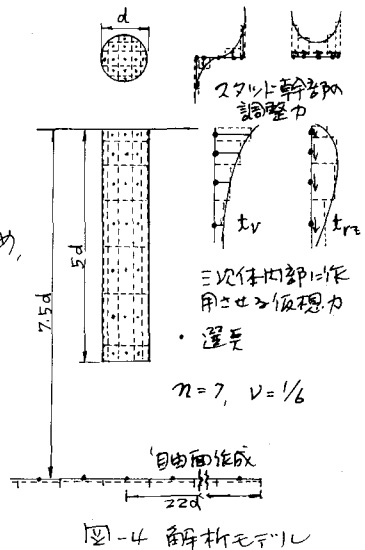


図-4 解析モデル

表-1

	σ_r $Z=0.125d$	τ_{rz} $Z=0.1d$
半無限体	3.46	0.81
スラブ	3.50	0.83

$\theta=0, R=0.5d$ ($\times S/d^2$)

	σ_r $Z=0.125d$	τ_{rz} $Z=0.1d$	τ_{rz} $Z=0.125d$
T-21	3.50	0.83	2.30
T-22	3.32	0.94	2.09
T-23	3.79	1.07	1.29

$\theta=7.5$ ($\times S/d^2$)

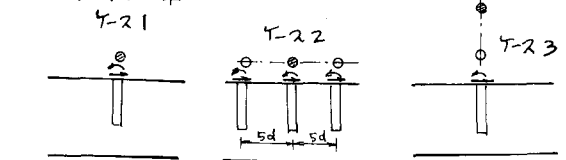


図-9 Y-21の場合